

] 10 5r •

KAWASAKI STEEL GIHO

Vol.10 (1978) No.1

9xMn p „7Å)-5δ'ö b ī ī° p ī± ī\$#Ö \_ l p M4 'ö 2 ö &gt; | g Mn/Si b s8j

Effects on Penetrator Defect Occurrence of Welding Conditions and Mn/Si Ratio of ERW  
High Manganese Line Pipe“ £ \$ M (Eiichi Yokoyama) £% 4 (Mitsubishi Yamagata) AE(á “ j (Norihiko  
Kano) Ü3¶ Ÿ U(Shuzo Watanabe)0[ " :  
9x Mn(1.5># p „7Å)-5δ'ö b ī ī° p ī± ī\ 8 f € • 7W b\$#Ö \_ l p M4 'ö 2 ö (PK  
°!Ö ,4 'ö3y Ø ) \(\ò ! ¥ - Ÿ b Mn/Si b s8j \_ X 8 Z è0! K S \ G • b G \ @ f ? W S  
>&1) ī ī° p ī± ī c °!Ö @ ± A 8 o ]>\* r S4 'ö3y Ø @4 8 o ] Q ± K>\* Mn/Si @ ` I C  
^• o ] Q ± M • (2) ī ī° p ī± ī b N I \ ^• Ö ~" @ b) B c FeO-MnO-SiO2 z / b  
4B i" @ [ 6 ~>\* Mn/Si @ ± A C ^• o ] SiO2 @ ö a K>\*MnO>\*FeO @ Q ± M • (3) PK  
4S [ b>A b ö a c o \ # ] ^8 @>\* Mn>\*Si c Ä i° € X \ \ v -- K C ö a M • (4) ī ī°  
p ī± ī#Ö B o Å>& FeO>) Mn=Fe>) MnO>\*2FeO>) Si=2Fe>) SiO2> b!Ö Š Ü\$× ^ è0!  
| • \>\* G b o Å c9x Mn i[ c A f u Z%· i6ë \_ = 1/®"g Å \_ ?4) M •

## Synopsis :

Such effects as shown in the title have been investigated using ERW steel pipe of 1.5%Mn and from 0.17 to 0.41%Si. Penetrator defects increase with an increase of heat input and with a decrease of welding speed, and moreover with a decrease of Mn/Si ratio. The non-metallic inclusions, which are the main cause of the penetrator, are mainly FeO-MnO-SiO<sub>2</sub> oxides, and with an increase of Mn/Si ratio, SiO<sub>2</sub> content decreases and FeO and MnO content increases. Manganese and Silicon content at the welded zone noticeably decreases with heat coefficient, although carbon content shows no particular change. In the thermodynamic considerations, reactions of penetrator formation (FeO>) Mn=Fe>) MnO and 2FeO>) Si=2Fe>) SiO<sub>2</sub>) in high manganese ERW pipe reach very rapidly to quasi-equilibrium state.

UDC 621.774.21:620.192.45  
621.791.019:620.191.32

## 高Mn中径電縫鋼管のペネトレーター発生に

RECEIVED IN THE LIBRARY OF THE UNIVERSITY OF TORONTO LIBRARIES

トヨタ生産技術センターと連携して、溶接工法による溶接熱影響部の調査

よっても影響を受け、定性的には造管速度が遅いほど、また溶接入熱が大きいほど発生しやすくなるといわれている<sup>1,2)</sup>。芳賀ら<sup>2)</sup>は高速度カメラによる接合部V收束点の観察から、このような造管条件では短絡によって生じたスリット内に酸化を受けた溶融ビードが還流するためと推察している。

（参考文献）

$$Q = \frac{E_p \cdot I_p}{v \cdot t} \quad \dots \dots \dots \quad (1)$$

$E_p$  : プレート電圧 (kV)

$I_p$  : プレート電流 (A)

$v$  : 造管速度 (m/min)

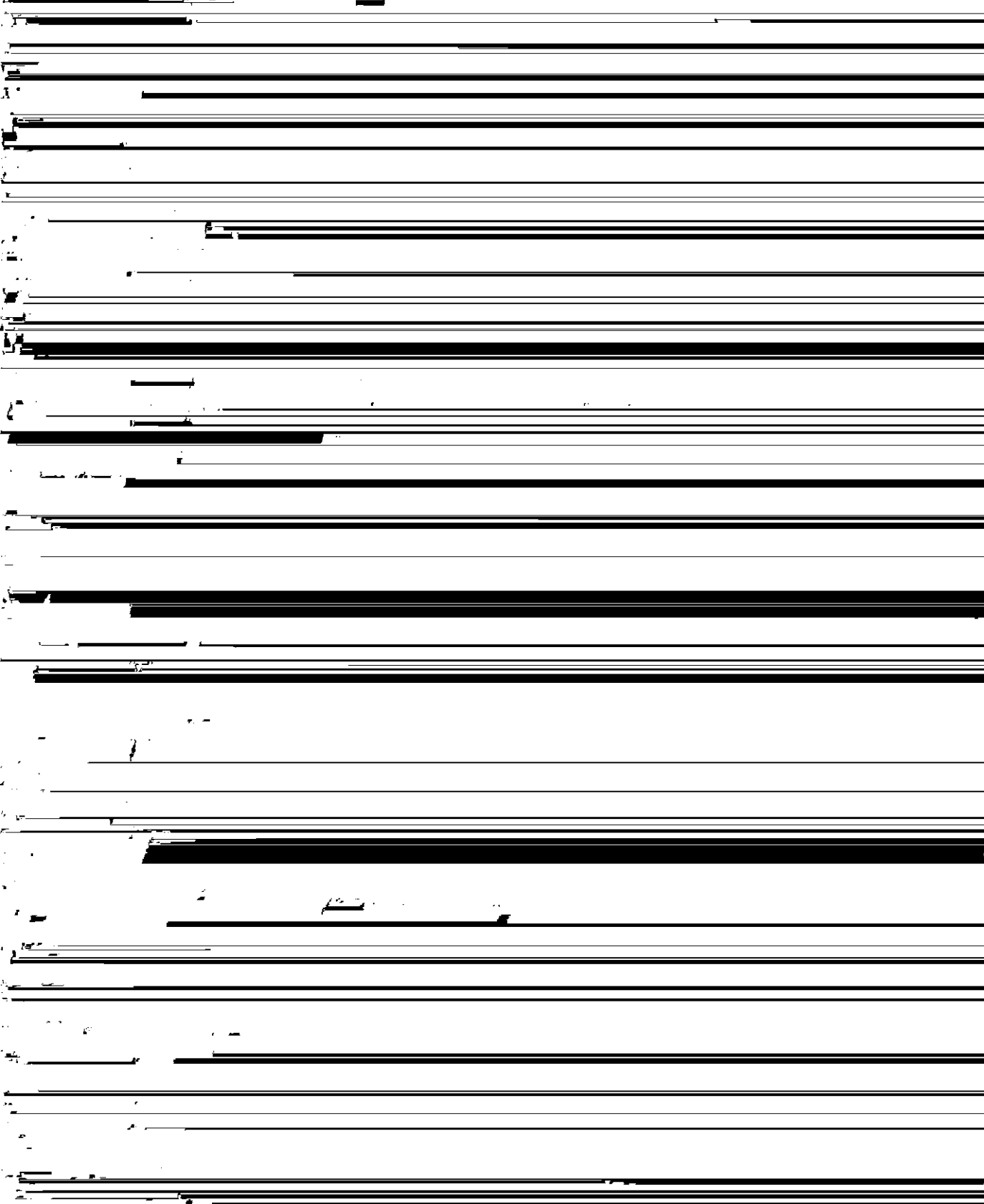
$t$  : 管厚 ( $\approx 0.5\text{mm}$ )

かにするため、溶接性、コイル強度の点からも造管が困難と考えられる高Mn材(Mn $\geq 1.45\%$ )コイルを用い、ペネトレーター発生における造管速度

このヒート係数  $Q$  は造管条件の指標として一般に用いられている関数であり、造管速度が遅いほど、また溶接入熱が大きいほど大きい値をとる。

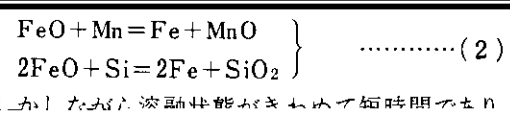
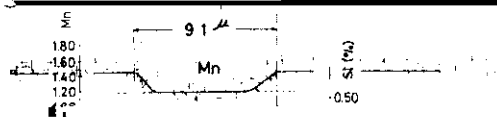
Pipe No.	Mn/Si	Welding condition					Dye penetrant inspection	
		Heat input	Speed (m/min)	Voltage (kV)	Current (A)	Heat coefficient Q	Pipe length (m)	Total length of penetrators mm

v : Welding speed (m/min) Mn/Si = 3.51  
v=8.1 etrators (m<sup>1</sup>) 5.0  
Mn/Si = 3.51









$N_{\text{MnO}}$ ,  $N_{\text{SiO}_2}$  の関係を求めた。

以上のことにより、Table 3 に示したペネトライター組成について(6)式に示す見かけの平衡定数  $K'$

$$K' = \frac{[\% \text{Si}] \cdot N_{\text{MnO}}^2}{[\% \text{Mn}]^2 \cdot N_{\text{SiO}_2}} \quad \dots \dots \dots (6)$$

の実測値と熱力学的計算値を求め、その比を

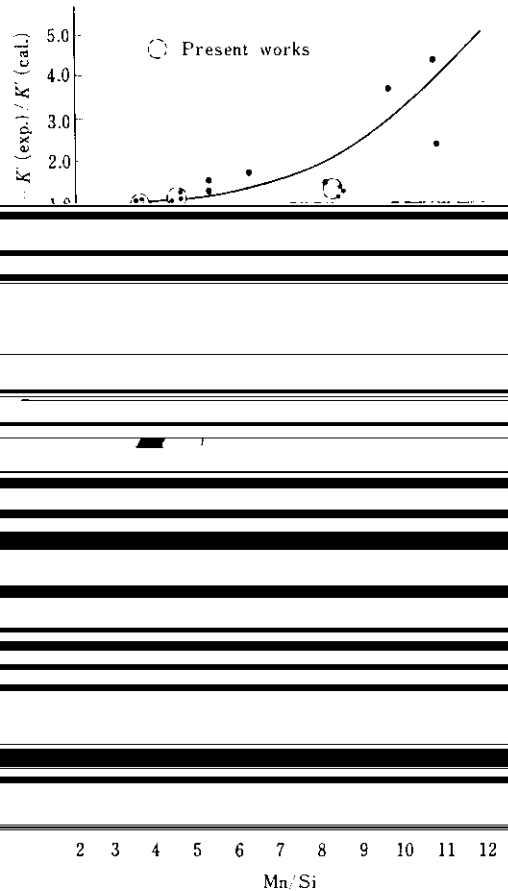


Fig. 6 である。Mn/Si が大きくなると  $k$  は 1 より大きくなる（すなわち MnO が多い状態または



ライトが少なくフェライトが多く存在し、その結晶粒もやや大きくなっていることから別名脱炭層と呼ばれていた。しかしながら本実験結果によれば

が増加する理由は次のように考えられる。すなはち、Mnは $\gamma$ 域をひろげるのに対しSiは $\gamma$ 域を狭くする元素であり、ボンド部でのMn, Siの減少による $\gamma$ 域の拡大

差がなく、脱炭反応は起きていないものと考えられるのでこの点について検討した。

1) 溶鉄中の全元素の硫化反応の自由エネルギー

減少は $A_3$ 変態点を上げフェライト析出を促進するのに対し、Siの減少は逆に $A_3$ 変態点を下げフ

リオレヒルスの反応を促進する

- 2) 芳賀、佐藤、青木ら：鉄と鋼，63（1977）4, S370
- 3) 伊藤、星野ら：鉄と鋼，57（1971）11, S428
- 4) 的場、郡司ら：鉄と鋼，45（1959）12, 1328
- 5) S. Ramachandran : Trans. Met. Soc. AIME, 227 (1963), 560
- 6) 小向、吉田、鈴木：鉄と鋼，51（1955）6, 1100, 59（1955）8, 667